

ΠΙΤΡΟΛΟΓΙΚΗ – ΟΡΥΚΤΟΛΟΓΙΚΗ ΜΕΛΕΤΗ ΤΩΝ ΜΕΤΑΒΑΣΙΤΩΝ (ΠΡΑΣΙΝΙΤΩΝ) ΤΗΣ ΛΑΥΡΕΩΤΙΚΗΣ ΚΑΙ ΓΕΩΤΕΚΤΟΝΙΚΟ ΠΕΡΙΒΑΛΛΟΝ

ΣΧΗΜΑΤΙΣΜΟΥ ΤΟΥΣ

K. ARIKAS¹, M. PAPE¹, K. ΣΕΡΕΔΗΣ² & A. ΤΣΑΓΚΑΛΙΔΗΣ²

ΣΥΝΟΨΗ

Η ΝΑ Αττική, μέρος της Αττικοκυκλαδικής μάζας αποτελείται από γνεύσιους, χαλαζίτες, μεγάλες σειρές μαρμάρων και σχιστόλιθων και διάφορα μεταβασικά και μεταύπερβασικά πετρώματα. Οι μεταβασίτες - πρασινίτες στη Λαυρεωτική εντοπίζονται σε περισσότερες από 60 εμφανίσεις. Τα σημαντικότερα τους είναι ο ακτινόλιθος, η ακτινολιθική κεροστίτη και ο γλαυκοφανής ο οποίος συχνά αντικαθίσταται από χλωρίτη, αλβίτη και επίδοτο – κλινοχωασίτη. Με βάση την ορυκτολογική τους σύσταση θεωρείται ότι έχουν υποστεί μέσης πρασινοχιστολιθικής φάσης μεταμόρφωση. Η παρουσία όμως του γλαυκοφανούς δείχνει ότι προηγήθηκε μια μεταμόρφωση υψηλής πλειστηριανής συνθήκης υποβιθνισης. Η λεπτομερής μελέτη των διακριτικών διαγραμμάτων ταξινόμησης κύριων στοιχείων και ιχνοστοιχείων των πρασινίτων της Λαυρεωτικής δείχνει ότι οι πρωτόλιθοι ήταν βασάλτες με υποαλκαλικό χαρακτήρα. Το γεωτεκτονικό περιβάλλον γένεσης των μαγμάτων ήταν η μεσοωκεάνεια ράχη MORB. Τα μάγματα αυτά έχουν θολεϊτικό χαρακτήρα και κατατάσσονται στους εμπλοντισμένους βασάλτες τύπου E- ή P-MORB.

ABSTRACT

The SE part of Attica belong to the Attico Cycladic massif and comprises gneiss, quartzites series of marble and scists, metabasites and metaultrabasites. The metabasites (prasinites) of Laurium area recognized in over 60 outcrops. The main mineral of the metabasites are actinolites, actinolitic hornblende glaucophane frequently altered to chlorite, albite, epidot – clinzoisite and chlorite which is the most frequent mineral. According to the mineral composition those metabasites have been affected by an intermediate to high temperature green – schist metamorphic phase. Nevertheless the presence of glaucophane shows that a high pressure metamorphic phase under subduction conditions was preceded. The detailed study of distinctive classification diagrams based on the main and trace elements of the Laurium prassinites showed a subalkaline basaltic character. The geotectonic environment of thos basaltic magmas should be of MORB type with a tholeiitic character belonging the E or P-MORB type basalts.

ΑΞΕΙΣ ΚΛΕΙΔΙΑ: Λαύριο, μεταβασίτες, πρασινίτες, ορυκτολογία, πετρολογία, γεωτεκτονικό περιβάλλον.

KEY WORDS: Laurio, metabasites, prasinites mineralogy, petrology, geotectonic environment.

ΕΙΣΑΓΩΓΗ

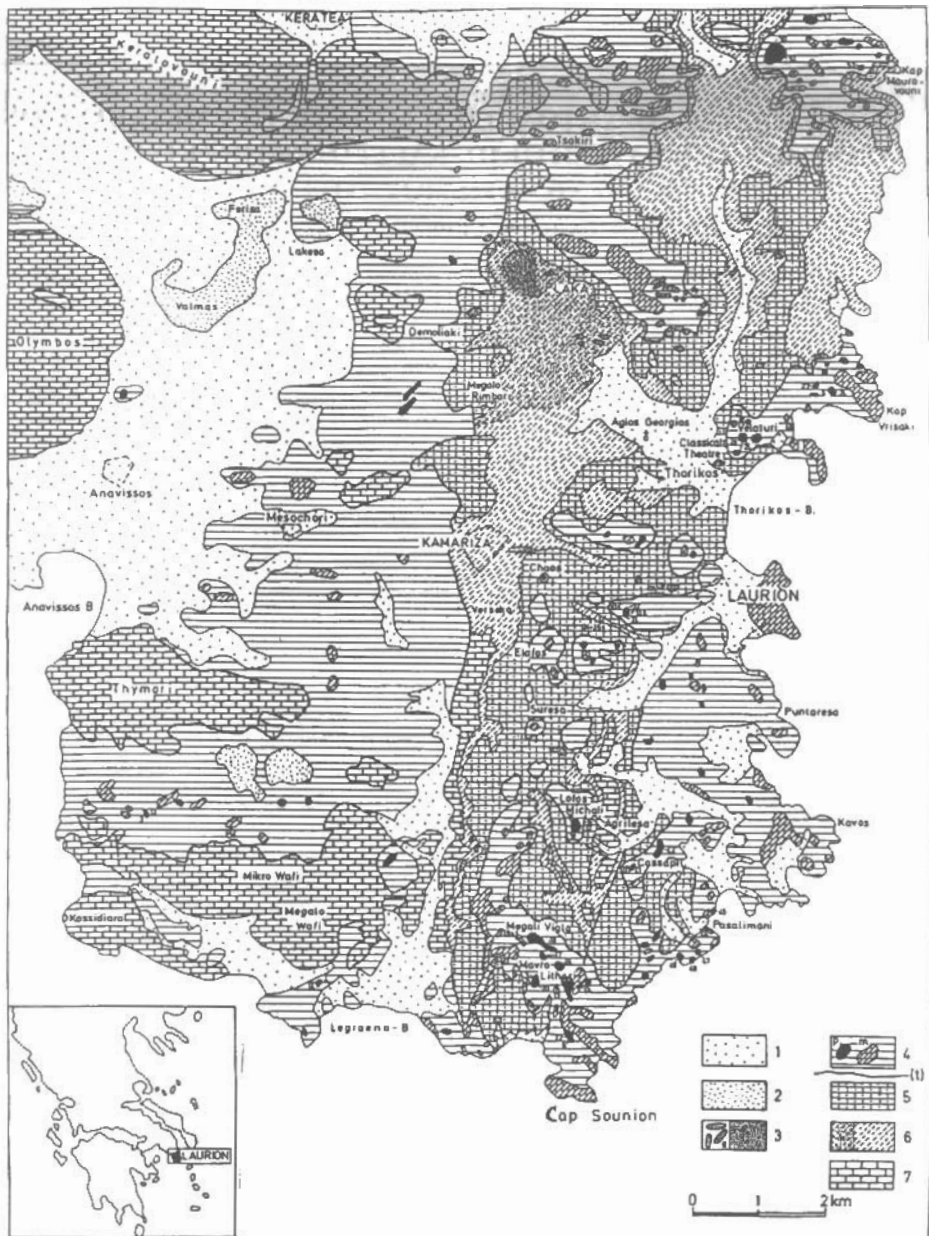
Το ΝΑ τμήμα της Αττικής, η Νότια Εύβοια και όλες σχεδόν οι Κυκλαδες ανήκουν στην Αττικοκυκλαδική μάζα που επεκτείνεται ανατολικά στη μεταμόρφωμένη μάζα του Μεντερές στη Μ. Ασία. Τα μεταμόρφωμένα πετρώματα της μάζας αυτής αποτελούνται κυρίως από γνεύσιους, χαλαζίτες και μεγάλες σειρές μαρμάρων με παρεμβολές μεταβασιτών και μεταύπερβασικών πετρωμάτων.

Τεκτονικές φάσεις των Μέσου και Νεοελληνιδών διαμόρφωσαν τη δομή της Αττικής. Στις φάσεις αυτές διείσδυσαν γρανιτοειδή πλωτώνια πετρώματα που τα συναντάμε συχνά στις Κυκλαδες αλλά και στη Λαυρεωτική. Οι LEPSIUS (1893), KOBER (1929), κ.ά. ήταν οι πρωτοπόροι στη γεωλογική μελέτη της Αττικής.

Λεπτομερής γεωλογική και κοιτασματολογική περιγραφή του ΝΑ τμήματος της Αττικής έγινε από τους MAPINO & PETRASCHECK (1956), οι οποίοι διέκριναν δύο σειρές γεωλογικών σχηματισμών: α) μία αυτόχθονη, που αποτελείται από ράχημαρα και μαρμαρωνιακούς σχιστόλιθους, και β) μία αλλοχθόνη υπό μορφή φυλλιτικού, καλύμματος που περιέχει σώματα μεταβασιτών οι οποίοι φέρουν το όνομα «πρασινίτες».

1. Mineralogisch-Petrographisches Inst. Grindelallee 48, 20146, Hamburg, Germany.

2. Εργ. Ορυκτολογίας Γεωλογίας, Γεωτοποιικό Πανεπιστήμιο Αθηνών, Λεωφόρος 75, 116 35 Αθήνα.



Υπόμνημα

- 1 Τεταρτογενή
- 1 Τριτογενή (Νεογενή)
- 3 Γρανοδιορίτης Πλάκας
ε γρανοδιοριτικές φλέβες (Ευρίτες)
- 4 Άλλοχονο σχροτολιθικό κάλυμμα
π = Ενδιάμεσο μάρμαρο
- 5 Πρασινίτες = Γραμμή πτώσης
- 6 Ανώτερα μάρμαρο
- 6 Μαρμαρογιακός σχροτόλιθος, Καισαριανής
- 7 Κατώτερα μάρμαρο

Legend

- | | |
|------------------------------------|-----|
| 1 Quaternary | 4 |
| 2 Tertiary (Neogen) | (t) |
| 3 Granodiorite of Plaka | |
| e - Granodioritic dykes (Eurites) | |
| 4 Allotrochous schist nappes | |
| m = intermediate marbles | |
| p = Prasinites t = overthrust line | |
| 5 Upper marble | |
| 6 Mica schists Kesariani | |
| 7 Lower marbles | |

3 - 52. Αριθμοί δειγμάτων

Σχ. 1 Γεωλογικός χάρτης της Λαυρεωτικής (Γ. Μαρίνον & W. Petrascheck, 1956)
Fig. 1 Geological map of "Laureotikos" - Περιοχή Γεωλογίας, Α.Π.Θ.

Στο γεωλογικό χάρτη της περιοχής (MAPINO & PETRASCHECK, 1956) έχουν χαρτογραφηθεί περισσότερες από 60 εμφανίσεις μεταβασιών. Στα πλαίσια της εργασίας αυτής έγινε δειγματοληψία από τις 28 σημαντικότερες εμφανίσεις. Μελετήθηκε μεγάλος αριθμός λεπτών τομών με πολωτικό μικροσκόπιο και πραγματοποιήθηκαν 36 χημικές αναλύσεις. Οι αναλύσεις έγιναν με XRF σε συσκευή τύπου Philips PW 1410 του πετρογραφικού εργαστηρίου του Πανεπιστημίου του Αμβούργου. Μικροαναλύσεις ορυκτών έγιναν σε 15 δείγματα με μικροαναλυτή τύπου Cameca, Camebax-microbeam, στο ίδιο Πανεπιστήμιο.

Μορφολογία των μεταβασιών - πρασινίτων

Ο όρος «πρασινίτης» χρησιμοποιήθηκε για πρώτη φορά από τον KALKOWSKY το 1886. Προέρχεται από τη λέξη <<πράσινο>>, που είναι το χρώμα των πετρώματος λόγω της μεγάλης περιεκτικότητάς του σε χλωρίτη, επίδοτο και αμφίβολο.

Οι πρασινίτες, ως μεταμορφωμένα βασικά και εν μέρει υπερβασικά πετρώματα έχουν αρκετά χαμηλές τιμές σε SiO_2 (έως 41,6%). Τα ιστολογικά χαρακτηριστικά των πρασινίτων δείχνουν ότι τα πετρώματα αυτά είχαν εν μέρει ηφαιστειακό ώστε πορφυριτικό ιστό και ρευστική υφή, συχνά όμως δείχνουν κρυπτόλιθους με πλούτωνικό χαρακτήρα. Στην ίνπαυθρο ορισμένες εμφανίσεις πρασινίτων έχουν τη μορφή <<Pillow lava>> ή ενστρώσεις που δίνουν την υφή ρευστικής βασαλτικής λάβας. Οι πρασινίτες, ως ανθεκτικά πετρώματα στη μηχανική και χημική διάβρωση, εμφανίζονται - λόγω της διαφορικής διάβρωσής τους σε σχέση με τα περιβάλλοντα πετρώματα - στις οξύληρτες κορυφές πολλών λόφων όπως στο Μαύρο Λιθάρι, στη Μεγάλη Βίγλα κ. α. βρύσειοδυτικά του Σουνίου και στο Βελατούρι, βόρεια της πόλης του Λαυρίου.

Ορυκτολογία - Πετρολογία

Οι πρασινίτες παρουσιάζουν μεγάλη ποικιλία όσον αφορά τον ιστό, την ορυκτολογική σύσταση και το χημισμό τους.

Τα κύρια ορυκτά τους είναι ο ακτινόλιθος, ο χλωρίτης, το επίδοτο, ο ζωισίτης και ο αλβίτης. Συχνά συμμετέχει κατά τόπους σε σχετικά μεγάλη ποσότητα και ο ασβεστίτης. Σε μερικά δείγματα (από το λόφο Βελατούρι) ο γλαυκοφανής αποτελεί το κύριο ορυκτό. Στα δευτερεύοντα ορυκτά ανήκουν ο γλαυκοφανής, ο φεργίτης και ο τιτανίτης. Σε ελάχιστες ποσότητες συμμετέχουν επίσης ο βιοτίτης, ο χαλαζίας και τα μεταλλικά ορυκτά μαργνητίτης και χαλκοπυρίτης. Σε ένα δείγμα (52) βρέθηκαν πολλοί κρύσταλλοι πρενίτη.

Κλινοπορόξενοι: Μόνο στις βρόμεις εμφανίσεις της Λαυρεωπικής, Α και ΒΔ του ακρωτηρίου Μαυροβούνι, διατηρήθηκαν υγιείς μαγματικοί κλινοπορόξενοι των αρχικών βασικών πετρωμάτων. Το μέγεθος των κρυστάλλων τους είναι συνήθως 1X0,5 mm και μερικές φορές 2X1 mm. Με βάση τη χημική τους σύσταση ταξινομούνται στο διάγραμμα του MORIMOTO et al. (1988) στο πεδίο του διοιδίδιου έως το πεδίο του διοιδιδικού ανγίτη (σχήμα 2). Από τη μικροσκοπική εξέταση προκύπτει ότι οι κλινοπορόξενοι της μεγαλύτερης εμφάνισης (δείγμ. 50 & 51) αποτελούν το κύριο ορυκτό ενός αρχικού γάρβηδου, ενώ σε δύο γειτονικές εμφανίσεις πρασινίτων (δείγμ. 52 & 53) αποτελούν φαινοκρύσταλλους βασάλτου με πορφυριτικό ιστό.

Ακτινόλιθος: Οι αμφίβολοι που επικρατούν στους πρασινίτες μας εντάσσονται στην κατηγορία του ακτινόλιθου ή της ακτινόλιθικής κεροστιλβής HAWTHORNE (1981) (σχήμα 4). Ο ακτινόλιθος σχηματίζει συχνά λεπτοποιηματικούς κρυστάλλους που συμφένονται στενά μεταξύ τους. Συχνά όμως εμφανίζεται και με τη μορφή μεγάλων ινωδών πορφυροβλαστών. Επιμήκεις κρύσταλλοι ακτινόλιθων εγκλείονται συχνά σε αλβίτη.

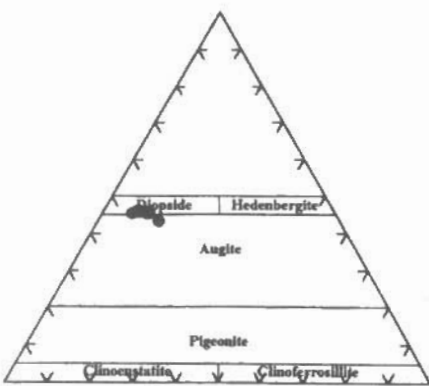
Γλαυκοφανής: Απαντά σε ορισμένες μόνο εμφανίσεις. Σε ορισμένες θέσεις (π.χ. στο λόφο Βελατούρι) αποτελεί το κύριο ορυκτό του πετρώματος και συνοδεύεται από αλβίτη και χλωρίτη. Σχηματίζει συνήθως ιδιόμορφους επιμήκεις και μερικές φορές ακτινοειδείς - σφαιροδιλιθικούς κρυστάλλους. Σε όλα τα δείγματα που παρατηρήθηκαν στο μικροσκόπιο διατιστώθηκε ότι ο γλαυκοφανής αντικαθίσταται από όλα τα άλλα ορυκτά του πετρώματος. Πιο συχνή είναι η αντικατάστασή του από χλωρίτη, όπου διακρίνονται όλα τα στάδια μερικής μέχρι και πλήρους αντικατάστασής του. Με βάση τη χημική του σύσταση και σύμφωνα και με το διάγραμμα ταξινόμησης κατά HAWTHORNE (1981) διακρίνεται σε σιδηρο-γλαυκοφανή και σε κροσσίτη (σχήμα 4).

Χλωρίτης: Ο χλωρίτης ανήκει στα κύρια ορυκτά του πρασινίτη. Παρουσιάζει μικρές αποκλίσεις στη χημική του σύσταση. Στο διάγραμμα των DEER et al. (1972) καταλαμβάνει μια στενή περιοχή μεταξύ ωριδόλιθου, πυκνοχλωρίτη και βρούνσιφιγκτή (σχήμα 3).

Αλβίτης: Από 35 μικροαναλύσεις αλβίτη δύο μόνο έδωσαν τιμές CaO 2,3% και 1,6%. Στις υπόλοιπες αναλύσεις η τιμή του CaO ήταν κάτω από 0,2%. Ο αλβίτης εμφανίζεται με διάφορες μορφές. Συχνά παρουσιάζεται με τη μορφή κόκκων και συνυπάρχει με ιδιόμορφους κρυστάλλους επίδοτον. Επίσης, συχνά πληροί τους χώρους μεταξύ των άλλων ορυκτών του πετρώματος. Σε ορισμένα δείγματα στα οποία τα ορυκτά διατηρούν κάπως τον ιστό του πρωτότυπου (άρχιλιθηκή θέση φράστης - Τρήμα Γεωλόγιας Α.Π.Θ.) τα αλβιτιωμένα πλαγιοκλαστά διατηρούν ακομή την αρχική προισματική τους μορφή.

Επίδοτο-κλινοζωισίτης: Το ορυκτό επίδοτο-κλινοζωισίτης εμφανίζεται σε όλα τα δείγματα αλλά σε διαφορετικές αναλογίες. Σε μερικά δείγματα αποτελεί το επικρατέστερο ορυκτό, ενώ σε ένα δείγμα (24) ήταν το μοναδικό σχεδόν ορυκτό του πετρώματος (επίδοτίτης). Το μέγεθος ($0,3 - 1,8$ mm) και η μορφή των κρυστάλλων του διαφέρει από δείγμα σε δείγμα. Στα δείγματα που είναι πλούσια σε γλαυκοφανή εμφανίζονται αποστρογγυλεμένοι, θαυμοί και ρυπαροί κόκκοι, που δίνουν την εντύπωση ότι είναι προϊόντα μιας παλαιότερης μεταμόρφωσης. Συνήθως όμως οι κρυστάλλοι του επιδότου-κλινοζωισίτη είναι διαυγείς, γωνιώδεις και ιδιόμορφοι. Από 33 μικροαναλύσεις προέκυψε μεγάλη διακύμανση σε Fe_2O_3 (από 0,9% έως 14,6% κ.β.) και σε Al_2O_3 (από 32,8% έως 21,3% κ.β.), η οποία καλύπτει σχεδόν όλο το φάσμα χημισμού από κλινοζωισίτη έως πλούσιο σε σιδήρο επίδοτο. Μερικοί από τους κρυστάλλους που αναλύθηκαν έδωσαν 2,88% MgO (ασυνήθιστα υψηλό για επίδοτο-κλινοζωισίτη) και ανάλογα χαμηλότερες τιμές σε CaO .

Wo

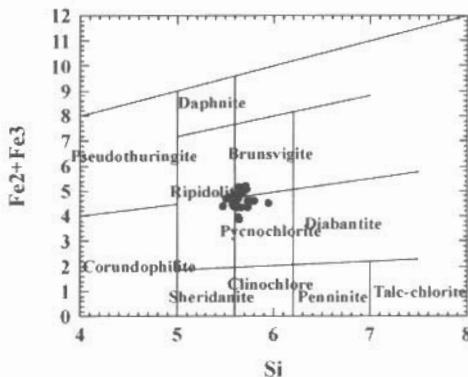


En

Σχ. 2. Διάγραμμα ταξινόμησης πυρόξενων κατά MORIMOTO et al. (1988)

Fig. 2. Pyroxen classification diagram after MORIMOTO et al. (1988)

Fs



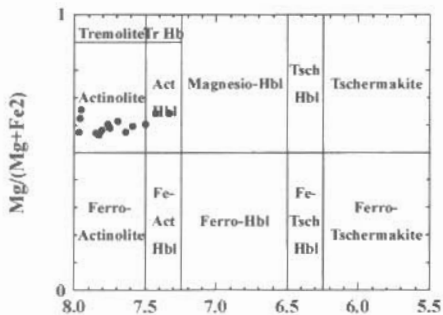
Σχ. 3 Διάγραμμα ταξινόμησης χλωριτών κατά DEER et al. (1972)

Fig. 3 Chlorites classification diagram after DEER et al. (1972)

Ασβεστίτης: Απαντά συχνά και σε σχετικά μεγάλες ποσότητες (βλ. ποσοστά CO_2 στον πίνακα αναλύσεων 1). Οι μικροαναλύσεις έδειξαν ότι πρόκειται για καθαρό ασβεστίτη.

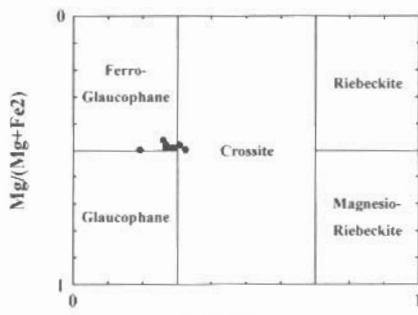
Πρενίτης: Μόνο σε μία εμφάνιση πρασινίτη (1,5 χιλιόμ. ΒΔ του ακρωτηρίου Μαυροβούνι, δείγμα 52) διαπιστώθηκε η παρουσία πρενίτη υπό μορφή ιδιόμορφων επιμήκων κρυστάλλων μεγέθους έως $0,7 \times 0,1$ mm. Οι μικροαναλύσεις έδειξαν ότι έχει σταθερή σύσταση με: $SiO_2 = 38.5\%$, $Al_2O_3 = 31.7\%$ & $CaO = 18\%$.

Ως επουσιώδη ορυκτά εμφανίζονται ο Φεγγίτης (MgO έως 4,8 & FeO έως 5,4%), ο βιοτίτης, ο χαλαζίας, ο τιτανίτης και τα μεταλλικά ορυκτά μαγνητίτης, μαγνητοσυρίτης, σιδηροτυρίτης και χαλκοπυρίτης.



Σχ. 4. Διάγραμμα ταξινόμησης αμφιβόλων κατά HAWTHORNE (1981)

Fig. 4. Amphiboles classification diagram after HAWTHORNE (1981)



Σχ. 5. Διάγραμμα ταξινόμησης γλαυκοφανούς κατά HAWTHORNE (1981)

Fig. 5. Glaucophane classification diagram after HAWTHORNE (1981)

Πετρογένεση και πετρολογική ταξινόμηση των πρασινιτών της Λαυρεωτικής

Η ορυκτολογική σύσταση των πρασινιτών της Λαυρεωτικής δείχνει ότι έχουν υποστεί πρασινοσχιστολιθικής φάσης μεταμόρφωση.

Η ίνπαρξη υπολειμμάτων γλαυκοφανούς, ο οποίος συχνά αντικαθίσταται από χλωρότη του οποίου είναι μητρικό ορυκτό, δείχνει ότι προηγήθηκε μεταμόρφωση υψηλών πιέσεων - χαμηλών θερμοκρασιών κυανοσχιστολιθικής φάσης. Κατά τον BALATATZIS (1996), η μεταμόρφωση αυτή έγινε σε περιβάλλον υποβιθισμούς με συνθήκες πίεσης 7–7,5 Kbar και θερμοκρασίας 300 – 340°C.

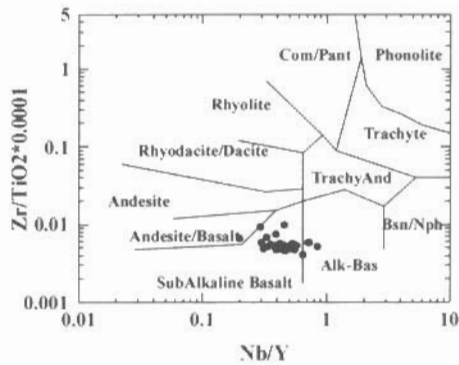
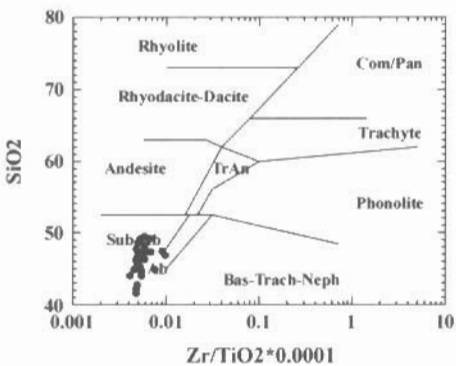
Παρόμοιες συνθήκες μεταμόρφωσης παρατηρήθηκαν στην Εύβοια και στα νησιά των Κυκλαδών Ανδρο, Τήνο Φολέγανδρο και Σίφνο (ALATHER 1979, 1982, DIXON, 1968, DIETRICH & DAVIS 1986). Λαμβάνοντας υπόψη τις ομοιότητες αυτές φαίνεται να δικαιολογείται η άποψη των KATSIKATSOS et al. (1986) και του JACOB SHAGRN (1986) ότι η Ν. Αττική, η Ν. Εύβοια και οι Β. Κυκλαδες αποτελούν ενιαία γεωτεκτονική ενότητα.

Από το συνδυασμό ορισμένων διακριτικών διαγραμμάτων ταξινόμησης συμπεραίνονται τα εξής:

- ♦ Σύμφωνα με τα διαγράμματα των COX et al. (1979) (σχήμα 8) και IRVINE & PARAGAR (1971) (σχήμα 9), οι πρασινίτες έχουν υποαλκαλικό – αλκαλικό βασαλτικό χαρακτήρα.
- ♦ Στο διάγραμμα Na₂O vs SiO₂ (σχήμα 11) τα περισσότερα δείγματα προβάλλονται στο πεδίο των αλκαλικών βασαλτών, ενώ στο διάγραμμα K₂O vs SiO₂ (σχήμα 10) προβάλλονται στο πεδίο των υποαλκαλικών βασαλτών και εν μέρει στο πεδίο των βασαλτών με χαμηλές περιεκτικότητες καλίου.
- ♦ Λαμβάνοντας υπόψη την προσφορά νατρίου και την έντονη αλβιτίωση κατά τη μεταμόρφωση των πρασινιτών, πρέπει να δεχθούμε ότι ο υποαλκαλικός χαρακτήρας ανταποκρίνεται καλύτερα στον αρχικό πετρολογικό χαρακτήρα των πρασινιτών. Η θέση των πρασινιτών κυρίως στο πεδίο των υποαλκαλικών βασαλτών στα διαγράμματα διάφορων ιχνοστοιχείων (Zr, Nb, Y) με SiO₂ και TiO₂ (σχήματα 6 και 7) κατά WINCHESTER & FLOYD (1976) ενισχύουν αυτή την άποψη.

Γεωτεκτονικό περιβάλλον δημιουργίας των πρωτόλιθων

Σχετικά με το γεωτεκτονικό περιβάλλον της γένεσης των βασαλτικών αυτών μαγμάτων η συσχέτιση ορισμένων ιχνοστοιχείων με οξειδία κύριων στοιχείων έδωσε συγκεκριμένα συμπεράσματα. Το διάγραμμα που φαίνεται στο σχήμα 12 δίνει στους πρωτόλιθους θολεϊτικό χαρακτήρα. Η προβολή των δειγμάτων στο διακριτικό διάγραμμα V vs Ti (σχήμα 13) κατατάσσει τους πρωτόλιθους στο πεδίο που προβάλλονται βασάλτες μεσο-ωκεανίας ράχης (Ocean Floor Basaltes, OFB ή Mid Ocean Ridge Basaltes, MORB).

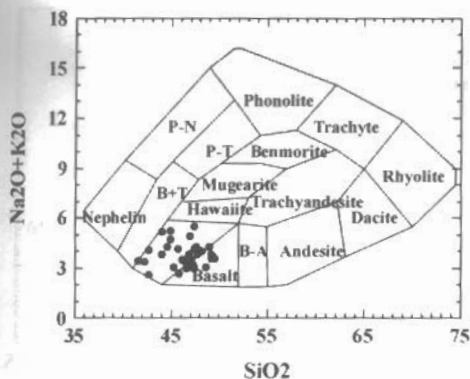


Σχ. 6 & 7. Διαγράμματα ταξινόμησης κατά WINCHESTER & FLOYD (1976)
Fig. 6 & 7. Classification diagrams after WINCHESTER & FLOYD (1976)

Πίν.1: ΧΗΜΙΚΕΣ ΑΝΑΛΥΣΕΙΣ ΜΕΤΑΒΑΣΙΤΩΝ (ΠΡΑΣΙΝΙΤΩΝ) ΤΗΣ ΛΑΒΡΕΩΤΙΚΗΣ
Table1: CHEMICAL ANALYSIS METABASITES (PRASINIT) OF LAVRION

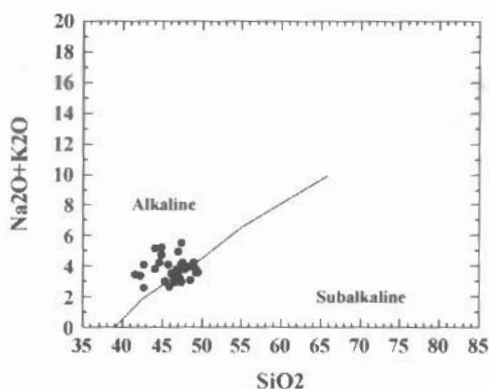
Δεήγματα	Pr 2	Pr 3	Pr 4c	Pr 5	Pr 6	Pr 7	Pr6	Pr14	Pr15	Pr16	Pr17b	Pr18	Pr20	Pr21	Pr22	Pr23	Pr24	Pr25a
SiO ₂	47.53	46.84	44.05	49.53	41.59	45.84	46.13	44.08	42.69	45.73	47.56	46.82	47.37	37.33	48.21	49.00	47.03	47.39
Al ₂ O ₃	16.58	17.68	13.81	11.94	14.59	15.03	14.43	16.40	15.12	15.21	12.97	14.44	15.82	12.04	13.31	13.68	14.80	16.54
Fe ₂ O ₃	10.69	7.71	15.48	14.07	12.43	9.94	11.87	8.07	11.42	9.81	13.81	9.58	13.21	6.99	13.18	11.38	10.96	11.71
MnO	0.24	0.16	0.21	0.21	0.17	0.18	0.19	0.16	0.17	0.15	0.19	0.16	0.18	0.20	0.16	0.17	0.14	
MgO	7.91	7.02	7.00	7.67	7.01	5.68	7.19	4.25	6.37	6.11	7.72	7.36	6.57	3.69	7.24	7.07	6.22	3.63
CaO	4.82	9.03	7.89	8.20	10.52	14.57	9.39	11.73	13.18	10.31	7.49	11.23	7.74	18.85	7.65	8.32	10.87	8.91
Na ₂ O	2.96	2.80	3.61	3.48	2.76	2.56	3.39	4.99	2.38	3.15	3.22	3.06	3.84	3.86	3.75	2.95	3.44	4.73
K ₂ O	1.25	0.34	0.19	0.08	0.68	0.07	0.13	0.17	0.22	0.96	1.03	0.80	0.31	0.68	0.23	1.31	0.07	0.78
TiO ₂	1.41	1.71	1.63	1.65	1.41	0.97	1.37	0.93	1.30	1.49	1.29	1.27	1.16	0.70	1.24	1.21	1.22	1.86
P ₂ O ₅	0.19	0.27	0.17	0.02	0.13	0.09	0.15	0.15	0.11	0.16	0.12	0.14	0.17	0.10	0.06	0.10	0.11	0.39
SO ₄	0.05	0.05	0.05	0.04	0.04	0.04	0.04	0.04	0.05	0.04	0.05	0.04	0.04	0.04	0.05	0.05	0.04	0.04
H ₂ O t	5.41	5.01	4.29	2.37	3.13	2.56	2.97	3.02	3.65	3.10	3.14	2.64	3.51	2.34	2.94	2.33	2.64	2.36
CO ₂	0.14	0.20	1.33	0.70	4.04	2.64	1.33	5.10	2.99	2.52	1.01	2.19	0.36	12.39	2.20	1.60	0.37	1.51
Σύν.	99.44	98.81	99.52	99.97	98.50	100.18	98.58	99.09	99.65	98.74	99.61	99.88	100.29	99.21	100.26	99.36	97.94	100.00
Ιχνοστ. (ppm)																		
Ba	296	43	22	22	69	26	34	23	35	101	70	92	31	48	18	125	15	88
Ce	46	61	34	40	54	27	22	12	32	32	30	26	56	14	44	35	21	58
Co	46	34	71	65	60	64	57	70	66	63	60	73	66	55	54	106	67	32
Cr	258	199	146	286	272	193	137	254	262	155	128	147	225	124	138	314	179	106
Cu	21	41	159	95	110	70	82	118	107	95	117	107	84	86	117	70	84	47
Ga	24	24	17	10	21	20	18	20	23	19	11	20	15	19	16	15	21	18
La	9	6	18	3	10	9	9	7	1	0	3	15	2	1	11	0	7	9
Nb	12	15	16	16	11	11	10	15	15	17	14	15	10	11	16	16	17	
Nd	17	26	12	11	17	6	14	8	11	13	11	12	16	8	16	16	11	19
Ni	43	90	75	100	85	61	72	84	92	80	84	81	71	67	62	82	79	47
Pb	8	6	11	5	3	0	7	0	0	1	0	2	1	6	1	0	2	49
Rb	29	6	8	3	22	0	2	4	8	26	22	19	12	24	9	28	4	21
Sr	62	64	108	64	280	183	99	261	131	119	80	109	128	297	129	91	132	287
Th	0	0	1	2	6	0	0	0	0	8	0	3	0	9	1	0	5	4
U	1	0	0	0	1	0	0	0	0	4	1	0	0	0	3	0	1	2
V	269	218	270	290	314	249	316	222	331	309	305	300	283	195	281	283	282	332
Y	41	33	25	22	29	27	28	28	29	31	24	27	29	29	26	19	30	52
Zn	94	67	122	107	78	71	86	48	88	60	83	79	98	52	80	71	78	112
Zr	130	168	67	97	67	49	66	51	64	73	76	70	65	46	72	64	70	129

Δεήγματα	Pr25b	Pr26	Pr27	Pr32	Pr33	Pr36	Pr37	Pr38	Pr39	Pr40	Pr42	Pr45	Pr46	Pr47	Pr48	Pr49		
SiO ₂	44.96	50.94	44.55	47.38	46.93	46.61	47.77	49.22	47.27	42.71	45.25	44.94	48.57	42.21	46.29	49.22		
Al ₂ O ₃	15.29	16.14	14.35	15.74	13.52	13.91	14.37	14.13	15.49	12.32	15.33	14.61	13.53	13.59	13.20	14.82		
Fe ₂ O ₃	11.19	8.17	10.17	9.84	9.07	12.05	11.05	11.03	11.45	12.41	9.66	8.62	11.34	9.30	13.38	8.68		
MnO	0.17	0.13	0.16	0.19	0.17	0.21	0.22	0.19	0.21	0.64	0.16	0.22	0.17	0.15	0.20	0.13		
MgO	3.78	7.78	5.49	7.57	6.96	7.78	6.63	7.99	7.40	5.58	6.68	6.43	7.39	6.43	6.85	7.58		
CaO	10.81	7.42	11.83	12.68	9.14	9.62	9.50	7.17	9.02	10.06	13.97	8.34	10.17	12.79	6.10	10.16		
Na ₂ O	4.32	4.22	4.03	2.62	4.79	2.85	3.58	3.61	3.05	3.90	2.92	2.81	2.84	2.59	3.32	3.11		
K ₂ O	0.91	0.33	0.21	0.13	0.14	0.10	0.21	0.22	0.13	0.20	0.12	1.91	0.22	0.79	0.12	0.46		
TiO ₂	1.12	0.94	1.05	0.92	0.95	1.50	1.41	1.20	1.33	2.47	1.11	1.22	1.38	1.03	1.69	1.06		
P ₂ O ₅	0.32	0.13	0.15	0.14	0.14	0.14	0.15	0.14	0.12	0.28	0.13	0.13	0.11	0.10	0.15	0.15		
SO ₄	0.04	0.04	0.04	0.00	0.01	0.00	0.00	0.00	0.00	0.00	0.01	0.01	0.00	0.01	0.01	0.01	0.01	
H ₂ O t	1.91	3.50	2.03	2.45	1.71	3.30	3.05	3.66	3.51	3.15	2.64	3.69	2.64	1.21	4.73	4.16		
CO ₂	4.60	0.22	5.04	0.26	10.37	1.15	1.91	1.20	0.00	5.86	1.16	6.21	0.92	9.56	3.54	8.52		
Σύν.	99.42	99.96	99.11	100.12	99.58	99.22	99.88	99.76	98.98	99.59	99.15	99.14	99.29	100.39	99.37	99.75		
Ιχνοστ. (ppm)																		
Ba	89	19	48	29	17	13	36	52	31	39	25	194	43	109	28	67		
Ce	28	21	29	22	1	18	15	19	33	27	0	23	21	13	27	14		
Co	51	63	51	74	46	66	67	58	75	39	93	67	61	58	53	68		
Cr	159	277	137	44	67	158	139	75	267	52	298	284	155	251	92	251		
Cu	61	17	77	84	94	79	63	63	87	55	114	89	66	89	111	33		
Ga	24	18	20	18	16	15	15	15	15	17	17	15	16	15	12	20		
La	15	0	13	1	0	0	8	25	0	2	1	1	0	0	5	0		
Nb	13	7	13	10	11	6	7	2	4	13	11	6	9	9	6	14	12	
Nd	12	17	15	11	6	7	2	4	13	11	6	9	9	6	14	12		
Ni	48	103	66	61	65	85	84	57	105	43	94	129	83	110	54	83		
Pb	4	6	0	14	3	7	12	30	30	13	5	8	7	6	4	9		
Rb	26	12	7	2	2	0	4	7	2	2	4	51	2	16	3	14		
Sr	262	74	161	120	163	105	155	108	192	108	114	110	117	184	63	160		
Th	1	4	2	3	0	0	0	0	1	2	6	3	0	2	0	2	0	
U	0	1	1	2	0	0	1	1	0	1	1	2	0	0	2	2		
V	267	190	272	260	259	337	328	328	296	433	280	226	313	263	386	229		
Y	33	23	28	30	26	30	31	26	28	52	28	28	33	25	44	30		
Zn	76	41	64	61	57	80	81	101	109	91	57	91	75	61	87	24		
Zr	85	64	57	48	48	74	67	64	73	122	59	56	69	49	99	71		



Σχ. 8. Διάγραμμα ταξινόμησης κατά COX et al. (1979)

Fig. 8. Classification diagrams after COX et al. (1979)

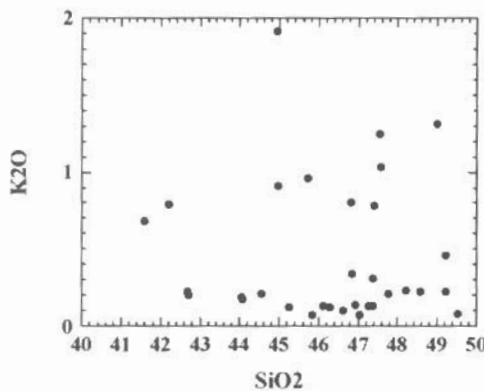


Σχ. 9. Διάγραμμα ταξινόμησης κατά IRVINE & PARAGAR (1971)

Fig. 9. Classification diagrams after IRVINE & PARAGAR (1971)

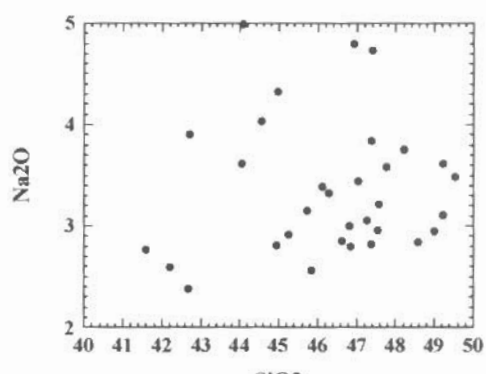
Ανάλογα συμπεράσματα προκύπτουν και από την προβολή των δειγμάτων στα διακριτικά διαγράμματα Τι vs Zr vs Y κατά PEARCE & CANN (1973), Ti vs Cr κατά PEARCE et al. (1975) και Ti vs Zr vs Sr κατά PEARCE & CANN (1973), που φαίνονται στα σχήματα 14, 15, 16.

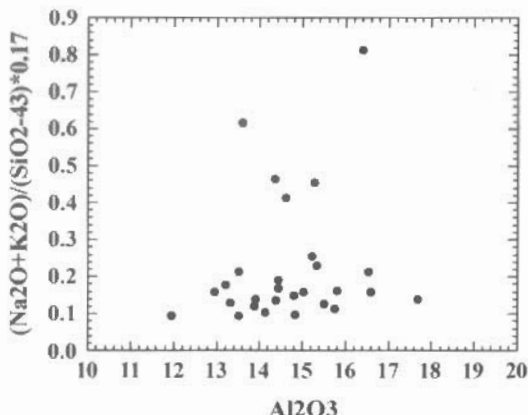
Στη συνέχεια γίνεται μία προσπάθεια για τον περαιτέρω διαχωρισμό των πετρωμάτων τύπου MORB, η οποία έχει ως σκοπό να προσδιοισθεί ο βαθμός εμπλουτισμού ή μη της αρχικής μανδυακής πηγής. Ετοι διαχρίνονται οι κατηγορίες των χανονικών N-MORB και των εμπλουτισμένων P-MORB ή E-MORB, καθώς και ο μεταβατικός τους τύπος T-MORB (BRUAN et al. 1976, SUN et al. 1979, SCHILLING et al. 1983). Οι διαφορές των τύπων αυτών συνίστανται στο κατά πόσο οι λιθότυποι που εξετάζονται είναι πτωχοί ή εμπλουτισμένοι σε λιθόφιλα στοιχεία. Η προβολή των δειγμάτων για τη διάκριση αυτή γίνεται στο διάγραμμα Nb vs Zr vs Y κατά MESCHENDE (1986), που απεικονίζεται στο σχήμα 17.



Σχ. 10 & 11. Διαγράμματα δείκτη αλκαλικότητας κατά MIDLEMOST (1975)

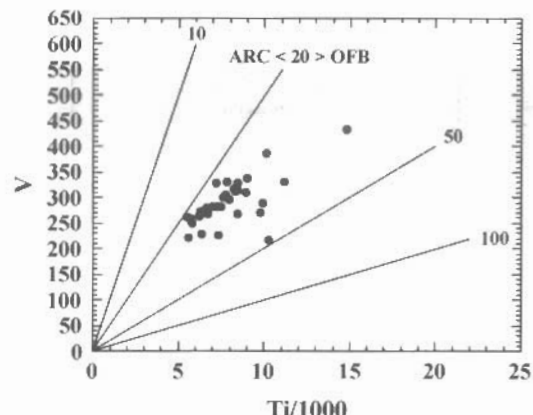
Fig. 10 & 11. Alkaline index diagrams after MIDLEMOST (1975)





Σχ. 12. Διάγραμμα δείκτη αλκαλικότητας κατά MIDDLEMOST (1975)

Fig. 12. Alkaline index (A.I.) diagram after MIDDLEMOST (1975)



Σχ. 13. Διακριτικό διάγραμμα (OFB ή MORB) του V vs Ti κατά SHERVAIS (1982)

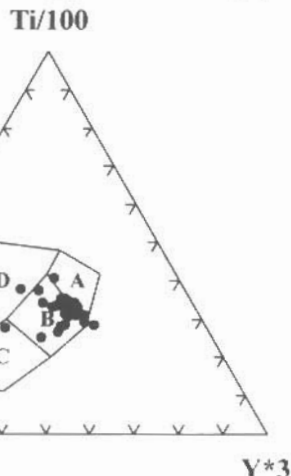
Fig. 13. Discrimination diagram (OFB ή MORB) V vs Ti after SHERVAIS (1982)

Το διάγραμμα επομένων κατατάσσει το αρχικό μάγμα στον ιδιαίτερο τύπο E-MORB ή P-MORB, δηλαδή στους εμπλουτισμένους βασάλτες που περιέχουν στοιχεία από το χαμηλότερο μανδύα (όπως οι βασάλτες της Ισλανδίας) και επίπλεον σχετικά υψηλότερη περιεκτικότητα σε ασυμβατά (incompatibles) στοιχεία.

ΣΥΜΠΕΡΑΣΜΑΤΑ

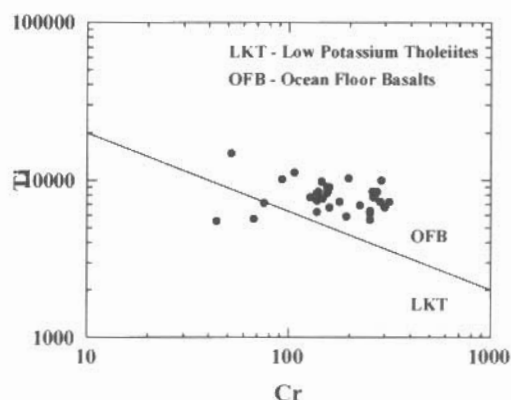
Οι μεταβασίτες (πρασινίτες) της Λαυρεωτικής, ως πετρώματα ανθεκτικά στη μηχανική και χημική διάβρωση, επηρέασαν τη γενικότερη μορφολογία της περιοχής.

Τα κύρια ορυκτά των πρασινιτών της Λαυρεωτικής είναι οι πράσινοι αμφίβολοι, ιδιαίτερα ο ακτινόλιθος που στο διάγραμμα ταξινόμησης καταλαμβάνει το πεδίο ακτινόλιθου και ακτινολιθικής κεροστιλβης. Οι μπλέ αμφίβολοι οι οποίοι συχνά αντικαθίστανται από χλωρίτη, ταξινομούνται χημικά ως σιδηρο-γλαυκοφανής και χροσσότης. Ο χλωρίτης, κύριο ορυκτό του πρασινίτη, χαρακτηρίζεται ως ριτιδόλιθος, πυκνοχλωρίτης ή βρουνσφιγκίτης. Τα πλαγιοκλαστά είναι αλβίτες. Τέλος, στα κύρια ορυκτά εντάσσεται τα επίδοτο κλινοζωισίτης, που συμμετέχει σε όλα τα δείγματα αλλά σε διαφορετικές αναλογίες.



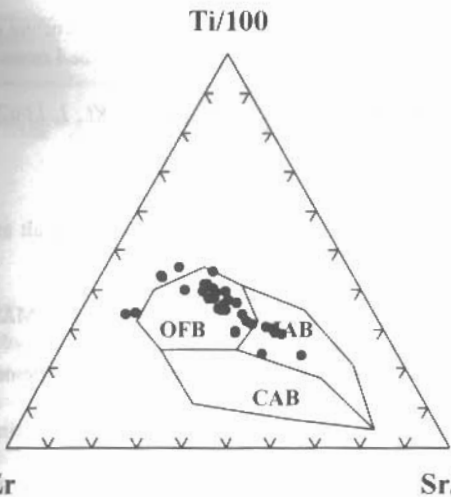
Σχ. 14. Διακριτικό διάγραμμα Ti vs Zr vs Y κατά PEARCE & CANN (1973)

Fig. 14. Discrimination diagramme Ti vs Zr vs Y Ψηφιακή Βιβλιοθήκη "Θεόφραστος" - Τμήμα Γεωλογίας. Α.Π.Θ.



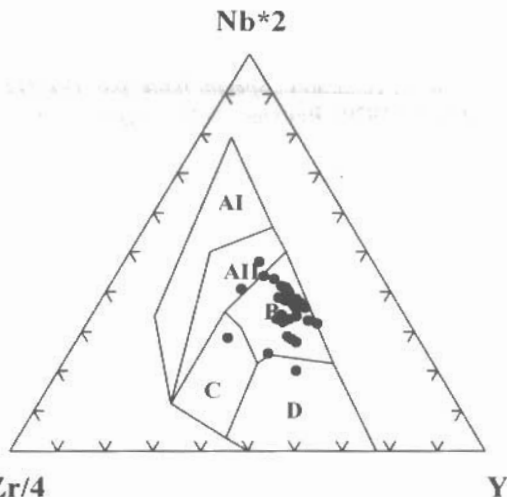
Σχ. 15. Διακριτικό διάγραμμα Ti vs Cr PEARCE et al. (1975)

Fig. 15. Discrimination diagramme Ti vs Cr PEARCE et al. (1975)



Σχ. 16. Διακριτικό διάγραμμα Ti vs Zr vs Sr κατά PEARCE & CANN (1973)

Fig. 16. Discrimination diagramme Ti vs Zr vs Sr κατά PEARCE & CANN (1973)



Σχ. 17. Διακριτικό διάγραμμα Nb vs Zr vs Y κατά MESCHEDE (1986)

Fig. 17. Discrimination diagramme Nb vs Zr vs Y κατά MESCHEDE (1986)

Σύμφωνα με βάση την ορυκτολογική τους σύσταση εκτιμάται ότι οι πρασινίτες μεταμορφώθηκαν σε συνθήκες πρασινοσχιστολιθικής φάσης, ενώ η παρουσία του γλαυκοφανούς δείχνει ότι προηγήθηκε μια μεταμόρφωση κυανοσχιστολιθικής φάσης.

Η μέλετη των κύριων στοιχείων και ιχνοστοιχείων των πρασινίτων της Λαυρεωτικής οδήγησε στο συμπέρασμα ότι οι πρωτόλιθοι ήταν βασάλτες με υποαλκαλικό χαρακτήρα και με χαμηλή εν μέρει περιεκτικότητα σε κάλιο.

Ο χαρακτήρας των βασαλτικών αυτών μαγμάτων είναι θολείτικός. Το γεωτεκτονικό περιβάλλον γένεσης των βασαλτών αυτών εντάσσεται σε εκείνο των μεσοωκεάνιων ράχεων MORB και μάλιστα στους εμπλουτισμένους βασάλτες (E-MORB ή P-MORB) που περιέχουν στοιχεία από το χαμηλότερο μανδύα, όπως είναι οι βασάλτες της Ισλανδίας με σχετικά υψηλότερη περιεκτικότητα σε ασύμβατα (incompatibles) στοιχεία.

ΒΙΒΛΙΟΓΡΑΦΙΑ

- ALTHERR, R. & SEIDEL, E. (1979): Speculations on the geodynamic evolution of the Attic-Cycladic Cyristalline Complex during alpidic times. - *Proceed. 6th Colloq. Geol. Aegean Region Athens 1977*, I: 347 - 352, Athen.
- ALTHERR, R.; KREUZER, H.; WENDT, J.; LENZ, H.; WAGNER, G. A.; KELLER, J.; HARRE, W. & HÖHNDORF, A. (1982): A late Oligocene/early Miocene high temperature belt in the Attic-Cycladic Cristalline Complex (SE Pelagonian, Greece). - *Geol. Jb., E23*: 97 - 164, Hannover.
- BALTATZIS, E. (1996): Blueschist-to-greenschist transition and the P-T path of Prasinites from the Lavrion area, Greece. - *Min. Mag.*, 60: 551 - 561.
- BRUAN, W.B., THOMPSON, G., FREY, F.A. & DICKEY, J.S. (1976): Inferred setting and differentiation in basalts from the Deep Sea Drilling Project. *J. Geoph. Res.*, 81, 4285-4304.
- COX, K. G., BELL, J. D. & PANKHURST, R. J. (1979): The interpretation of igneous rocks. - *Allen and Unwin, London*, 450 p.
- DEER, W., HOWIE, R. A., ZUSSMAN, J. (1974): Rock forming Minerals. - *Longman, London*, Vol. 1 - 5.
- DIETRICH, V. J. & DAVIS, E. N. (1986): Ophiolitic Relicts in the Cycladic Blueschist-belt (AEGEAN SEA) A geochemical approach IGME Special Issue. *Ceol. & Geoph. Res.* Pp. 89-97.
- DIXON, J. E. (1968): The metamorphic rocks of Syros, Greece. - *Unveröff. Ph. D. Thesis Univ. Cambridge*.
- IRVINE, T. N. & BARAGAR, W. R. A. (1971): A guide to the chemical classification of the common volcanic rocks. - *Can. J. Earth Sci.*, 8(5).
- JACOBSHAGEN, J. Hrsgb. (1986): Geologie von Griechenland. - *Gebrüder Bornträger, Berlin*, 363 S.

- KATSIKATSOS, G., MIGIROS, G., TRIANTAPHYLLOIS, E., & METTOS, A., (1986): Geological Structure of Internal Hellenides (E. Thessaly, SW. Macedonia, Euboea, Attica, Nortn. Cyclades Islands & Lesvos)
I.G.M.E.Geoph. Res., Special Issue, p.p. 191-212
- KOBER, L. (1929): Beiträge zur Geologie von Attika. - *Sitz.-Ber. Akad. Wiss. Wien, math.-naturw. Kl.*, I, 138(7): 299 - 327, Wien.
- LEPSIUS, R. (1893): Geologie von Attika. - *Reimer, Berlin*, 196 S.
- MARINOS, E. P. & PETRASCHEK, W. E. (1956): Laurium. - *Geol. Geophys. Res.*, 4(1): 1 - 252.
- MESCHEDE, M. (1986): A method of discriminating between different types of mid-ocean ridge basalt and continental tholeiites with the Nb-Zr-Y-diagram. - *Chem. Geol.*, 56: 207 - 218.
- MIDDLEMOST, E. A. K. (1975): The Basalt Clan. - *Earth Sci. Rev.*, Amsterdam, 28: 337 - 364.
- MORIMOTO, N., FABRIES, J., FERGUSON, A.K., GINZBURG, I.V., ROSS, M., SEIFERT, P.A., ZUSSMAN, J., AOKI, K. & GOTTARDI, G. (1988): Nomenclature of pyroxenes. *Am. Mineral.* 73, 1123-1133..
- PEARCE, J. A. & CANN, J. R. (1973): Tectonic setting of basic volcanic rocks determined using trace element analyses. - *Earth Planet. Sci. Lett.*, 19: 290 - 300.
- PEARCE, T. H., GORMAN, B. E. & BIRKETT, T. C. (1975): The TiO_2 - K_2O - P_2O_5 diagram: a method of discriminating between oceanic and non-oceanic basalts. - *Earth Planet. Sci. Lett.*, 24: 419 - 426.
- SCHILLING, J.-G.; ZAJAC, M.; EVANS, R.; JOHNSTON, T.; WHITE, W.; DEVINE, J. D. & KINGSLEY, R. (1983): Petrologic and geochemical variations along the Mid-Atlantic Ridge from 27°N to 73°N. - *Am. J. Sci.*, 283: 510 - 586.
- SHERVAIS, J. W. (1982): Ti-V plots and the petrogenesis of modern and ophiolitic lavas. - *Earth Planet. Sci. Lett.*, 57: 101 - 118.
- SUN, S. S., NESBITT, R.W. & SHARASKIN, A. Y., (1979): Geochemical characteristics of mid-ocean ridge basalts. *Earth Planet. Sci. Lett.*, 44, 119-138.
- WEG, O. (1931): Die Zwischengebirgsche Prasinitsscholle bei Hainichen – Berbersdorf - *Abhdl. D. Sachs Geol. Landesamtes Kaufmann Leipzig*, 140 S
- WINCHESTER, J. A. & FLOYD, P. A. (1976): Geochemical magma type discrimination; application to altered and metamorphosed basic igneous rocks. - *Erth Planet. Sci. Lett.*, 28: 459 - 469.